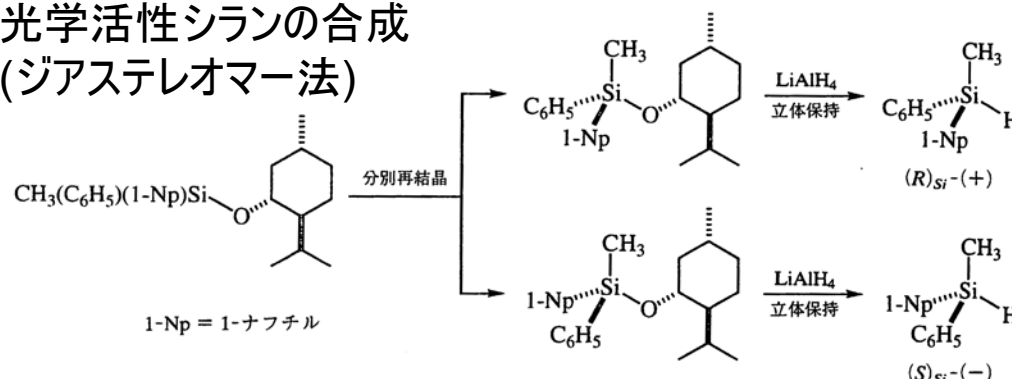


# 有機14族元素化合物の性質：置換反応

## 光学活性シランの合成 (ジアステレオマー法)



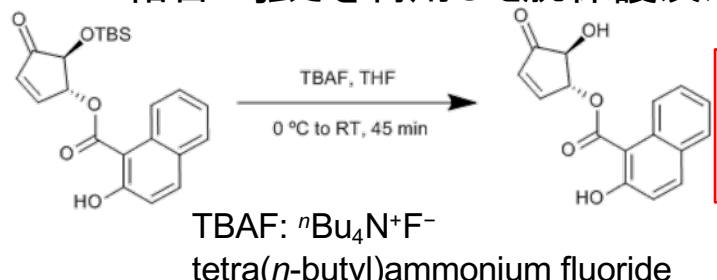
4配位14族元素(Si,Ge,Sn)化合物は四面体構造をとる

## ケイ素と炭素の各種結合解離エネルギー

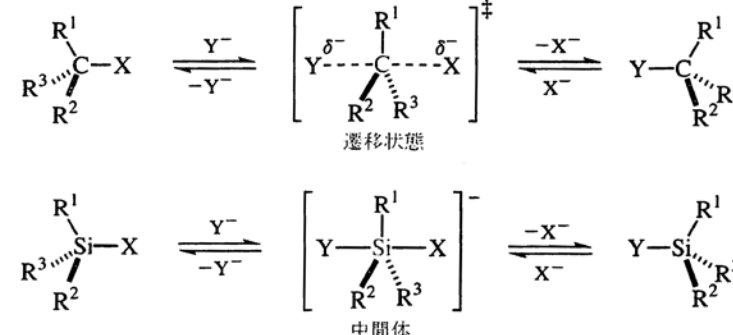
表 8・7 ケイ素と炭素の各種結合解離エネルギー D の比較

ケイ素化合物		炭素化合物	
結 合	D, kJ mol <sup>-1</sup>	結 合	D, kJ mol <sup>-1</sup>
(CH <sub>3</sub> ) <sub>3</sub> Si—H	378	(CH <sub>3</sub> ) <sub>3</sub> C—H	387
(CH <sub>3</sub> ) <sub>3</sub> Si—Cl	473	(CH <sub>3</sub> ) <sub>3</sub> C—Cl	335
(CH <sub>3</sub> ) <sub>3</sub> Si—Br	402	(CH <sub>3</sub> ) <sub>3</sub> C—Br	268
(CH <sub>3</sub> ) <sub>3</sub> Si—I	322	(CH <sub>3</sub> ) <sub>3</sub> C—I	213
F <sub>3</sub> Si—F	669	F <sub>3</sub> C—F	544
(CH <sub>3</sub> ) <sub>3</sub> Si—OH	536	(CH <sub>3</sub> ) <sub>3</sub> C—OH	381
(CH <sub>3</sub> ) <sub>3</sub> Si—NHCH <sub>3</sub>	418	(CH <sub>3</sub> ) <sub>3</sub> C—NHCH <sub>3</sub>	335

## Si—F結合の強さを利用した脱保護反応



## 炭素およびケイ素上の置換反応



炭素:5配位構造は遷移状態→

ケイ素:5配位構造は中間体→

: 第1回資料参照)

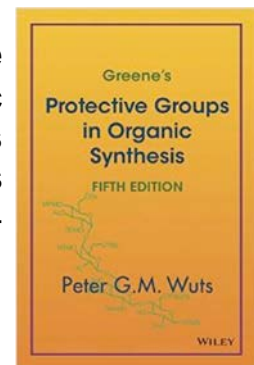
Si—H結合はC—H結合より弱い

→ lone pairを持つ元素とSiの結合は  
対応する炭素との結合より強い

→ : 第2回資料p9参照)

Acc. Chem. Res. 1981, 14, 246.

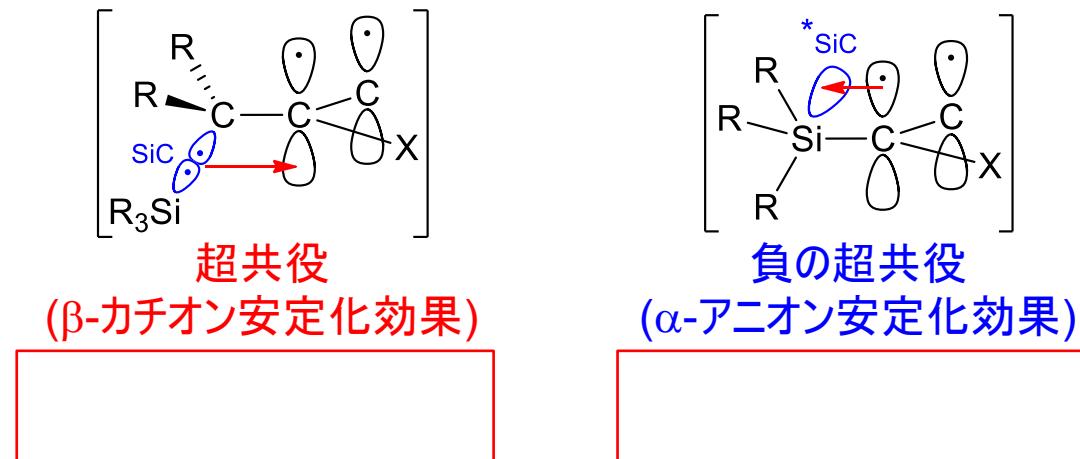
Greene's Protective Groups in Organic Synthesis  
P. G. M. Wuts  
John Wiley & Sons, 2014  
ISBN: 1118057481



J. Am. Chem. Soc. 2005, 127, 2050.

# 有機14族元素化合物の性質: 置換基としての効果

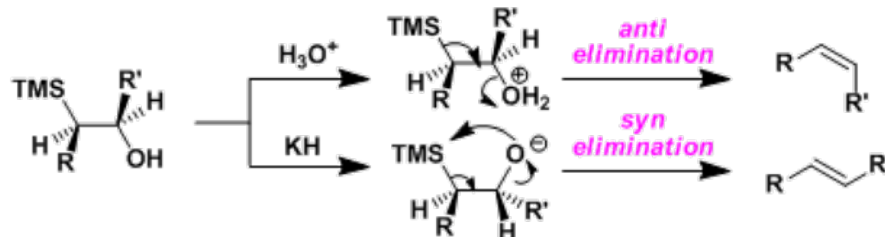
14族元素の置換基効果: 超共役と負の超共役(第1回資料p21参照)



有機14族元素化合物の第1イオン化ポテンシャル

化合物	IP <sub>1</sub> , eV	化合物	IP <sub>1</sub> , eV
H <sub>2</sub> C=CH <sub>2</sub>	10.5	C <sub>6</sub> H <sub>5</sub> H	9.24
H <sub>2</sub> C=CHCH <sub>3</sub>	9.73	C <sub>6</sub> H <sub>5</sub> CH <sub>3</sub>	8.84
H <sub>2</sub> C=CHSi(CH <sub>3</sub> ) <sub>3</sub>	9.8	C <sub>6</sub> H <sub>5</sub> Si(CH <sub>3</sub> ) <sub>3</sub>	9.05
H <sub>2</sub> C=CHGe(C <sub>2</sub> H <sub>5</sub> ) <sub>3</sub>	9.2	C <sub>6</sub> H <sub>5</sub> Ge(CH <sub>3</sub> ) <sub>3</sub>	9.00
H <sub>2</sub> C=CHSn(C <sub>4</sub> H <sub>9</sub> ) <sub>3</sub>	8.6	C <sub>6</sub> H <sub>5</sub> Sn(CH <sub>3</sub> ) <sub>3</sub>	8.94
H <sub>2</sub> C=CHCH <sub>2</sub> Si(CH <sub>3</sub> ) <sub>3</sub>	9.0	C <sub>6</sub> H <sub>5</sub> CH <sub>2</sub> Si(CH <sub>3</sub> ) <sub>3</sub>	8.42
H <sub>2</sub> C=CHCH <sub>2</sub> Ge(C <sub>2</sub> H <sub>5</sub> ) <sub>3</sub>	8.8	C <sub>6</sub> H <sub>5</sub> CH <sub>2</sub> Ge(CH <sub>3</sub> ) <sub>3</sub>	8.40
H <sub>2</sub> C=CHCH <sub>2</sub> Sn(C <sub>4</sub> H <sub>9</sub> ) <sub>3</sub>	8.4	C <sub>6</sub> H <sub>5</sub> CH <sub>2</sub> Sn(CH <sub>3</sub> ) <sub>3</sub>	8.21

## Petersonオレフィン化



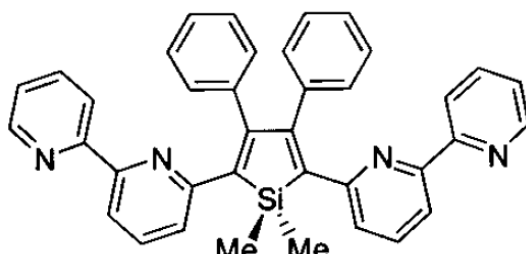
<http://www.chem-station.com/odos/2009/07/peterson-peterson-olefination.html>

酸性条件と塩基性条件で  
生成するアルケンの立体が逆に  
(酸性条件下の中間体は超共役で安定化)

## LG電子有機ELテレビ



## 負の超共役を用いた有機機能材料



玉尾皓平  
京都大学名誉教授



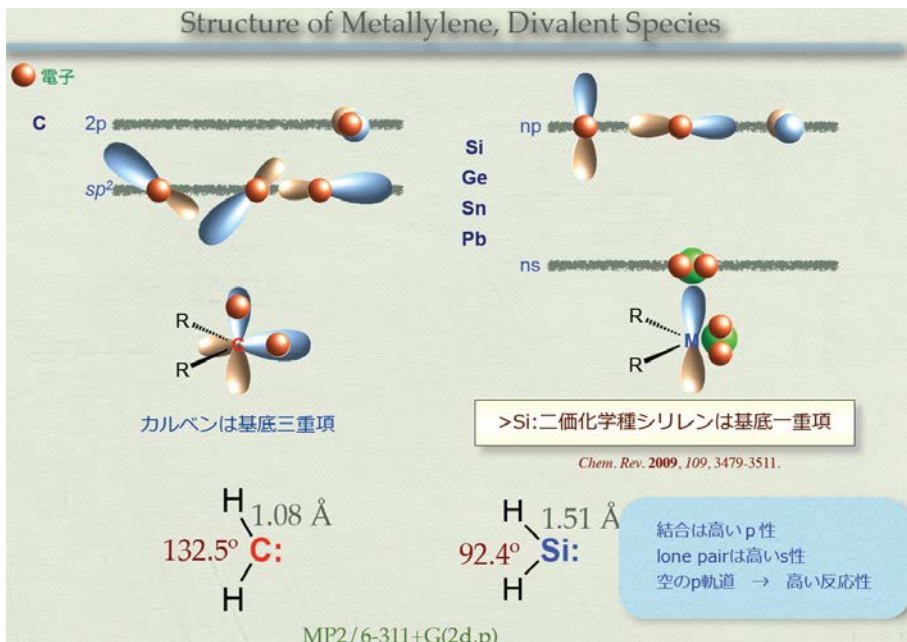
山口茂弘  
名古屋大学教授

JACS 1996, 118, 11974.

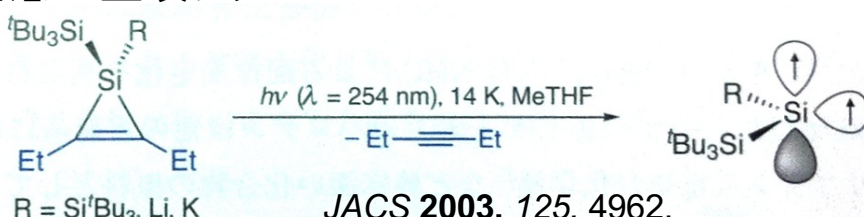
有機EL素子の

Chem. Mater. 2001, 13, 2680. 電子輸送層として利用

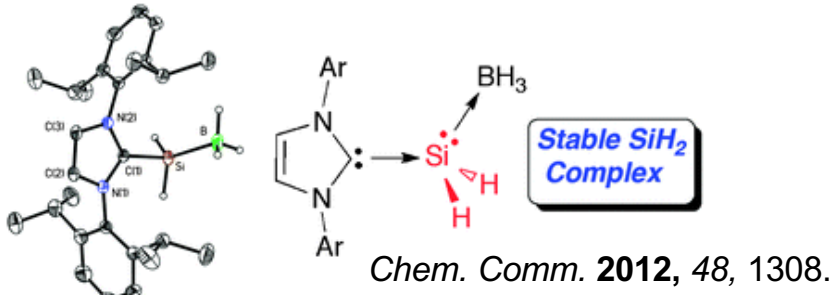
# 14族元素高反応性化学種: 2価化学種



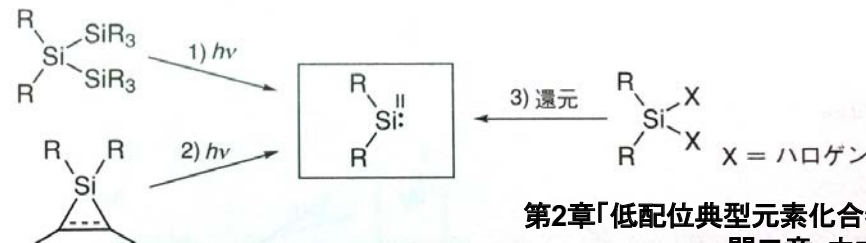
thanks to 笹森貴裕教授(名古屋市立大学)  
基底三重項シリレン



ルイス酸・ルイス塩基とシリレンの錯形成



## シリレンの合成法



第2章「低配位典型元素化合物の化学」

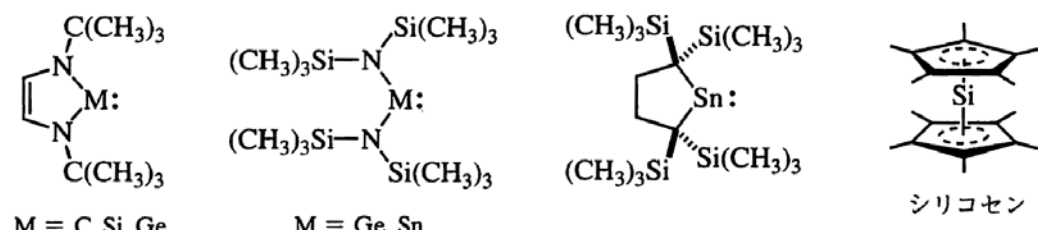
関口章・中本真晃 著

有機金属化学の最前線—多様な元素を使いこなす

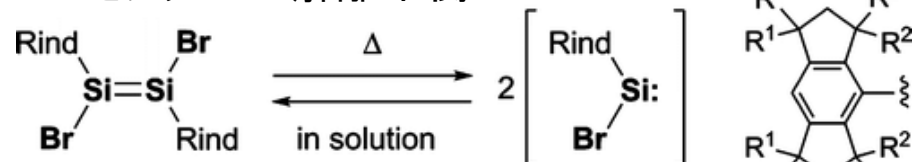
宮浦憲夫・鈴木寛治・小澤文幸・山本陽介・永島英夫 編

東京化学同人 ISBN 978-4807913442

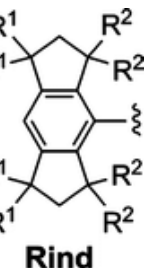
## 単離可能な安定シリレン



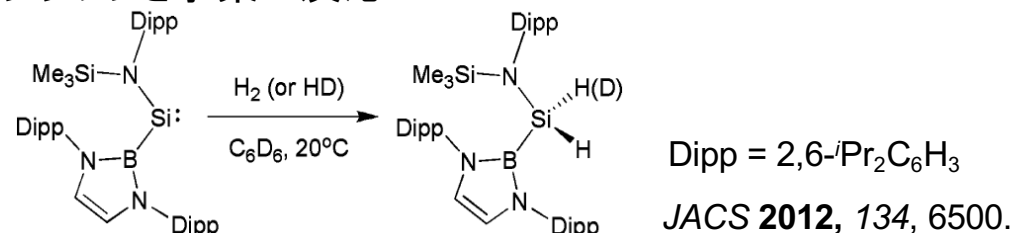
## ジシリレンとシリレンの解離平衡



Suzuki, K.; Matsuo, T.; Hashizume, D.; Tamao, K.  
*JACS* 2011, 133, 19710.

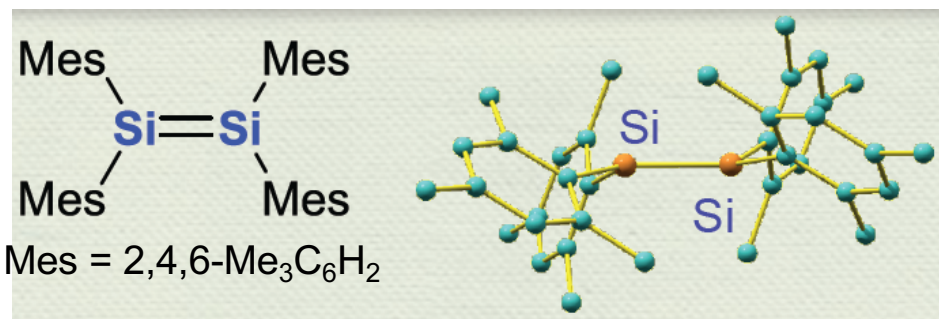


## ジシリレンと水素の反応



# 14族元素高反應性化學種：多重結合

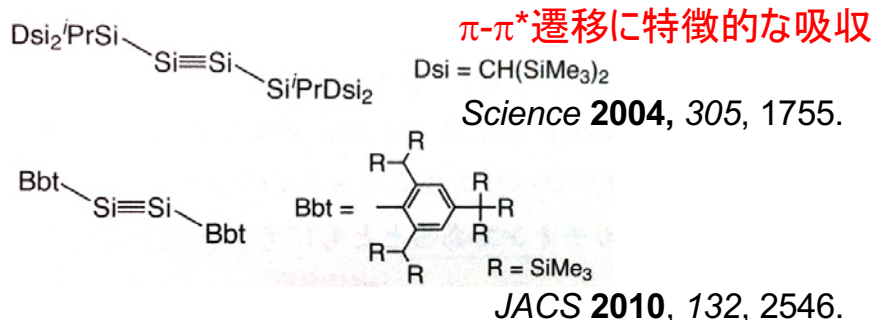
## Si=Si二重結合化合物ジシレン



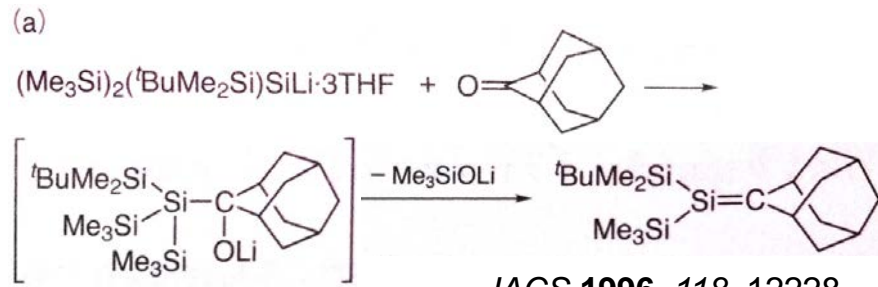
## $\pi$ - $\pi^*$ 遷移に特徴的な吸収

Science 1981, 214, 1343.

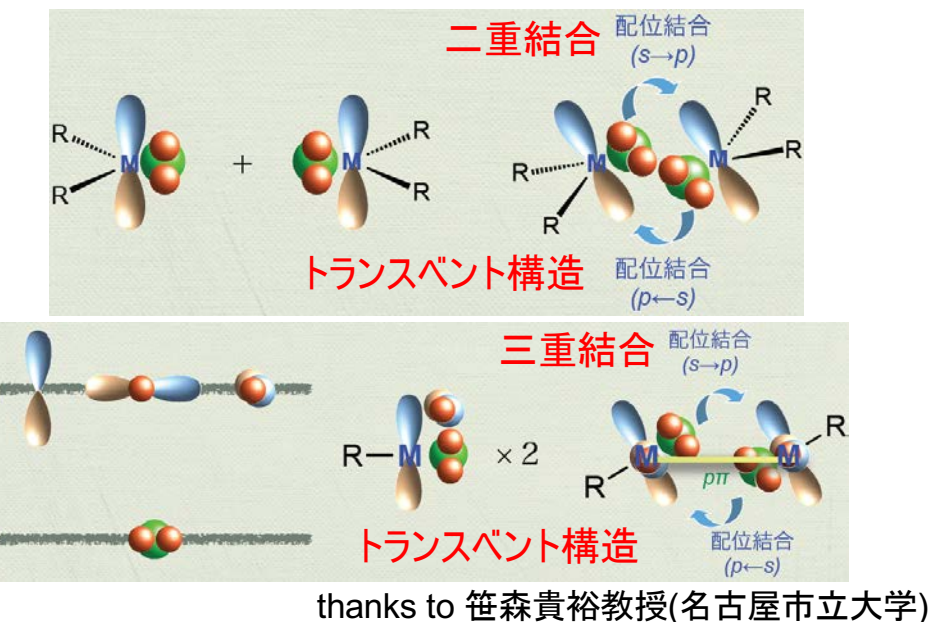
## S≡S三重結合化合物ジシリン



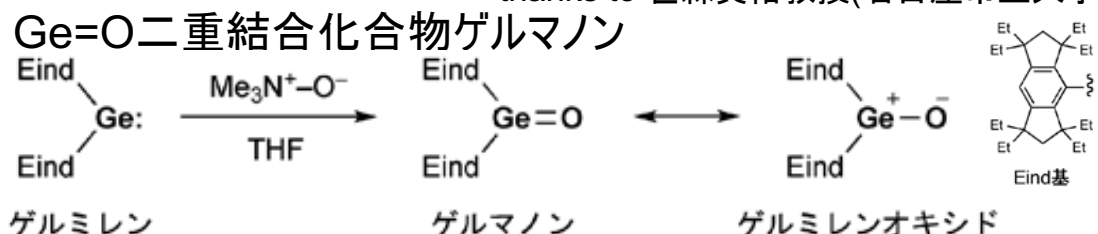
## Si=C二重結合化合物シレン



## Peterson型脱離反応

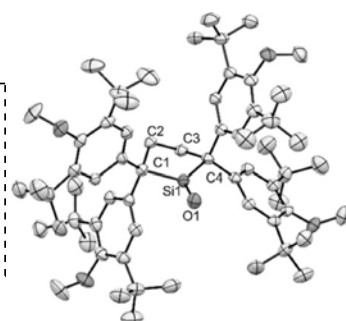
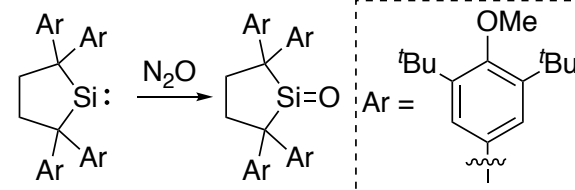


thanks to 笹森貴裕教授(名古屋市立大学)



ケトンよりもより極性が高い *Nat. Chem.* **2012**, 4, 361.  
CO<sub>2</sub>や水と容易に反応

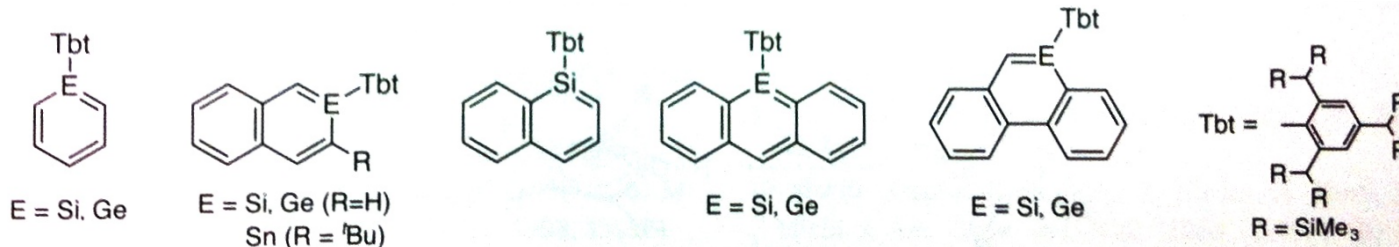
## 最後の大物: Si=O二重結合化合物



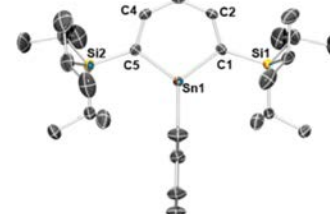
*Angew. Chem. Int. Ed.* **2019**, *58*, doi: 10.1002/anie.201905198.

# 14族元素高反応性化学種：芳香族化合物

中性含ケイ素芳香族 結合交代が無い・遷移金属と $\pi$ 錯体を形成・特徴的な $\pi-\pi^*$ 吸収

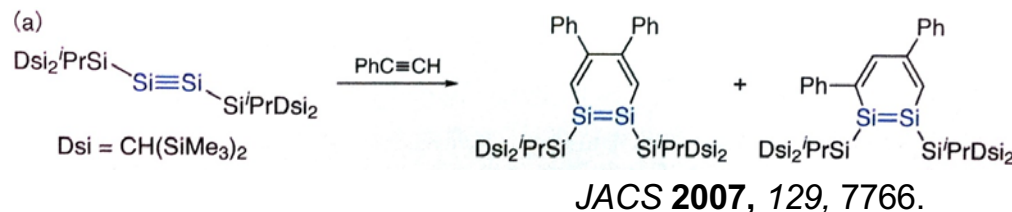


最近スズ含有ベンゼンも単離された



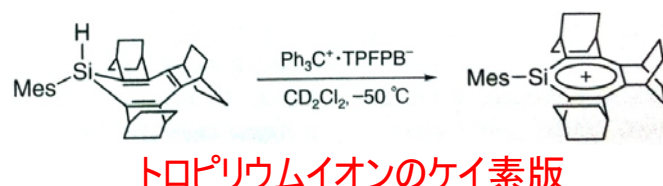
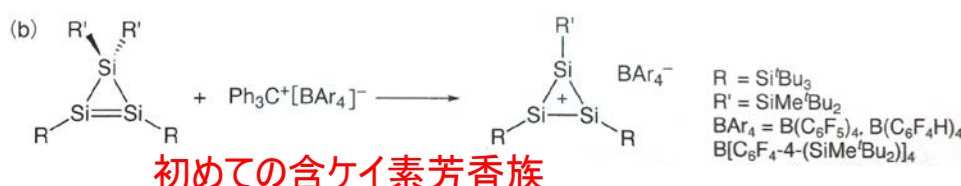
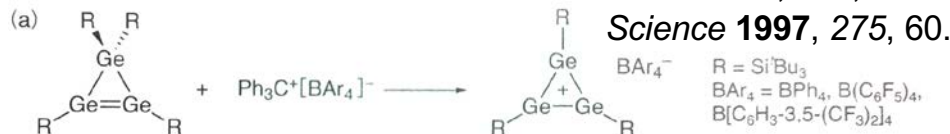
*Angew. Chem. Int. Ed.* 2019, 58, 7749.

## ジシラベンゼン誘導体

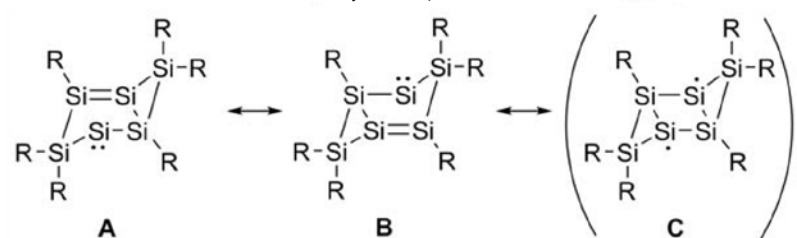
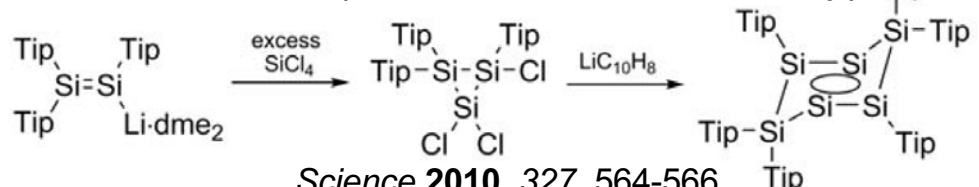


ケイ素1原子とアルキンの直接反応を経由

## 力チオノ性芳香族

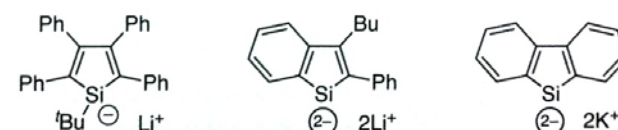
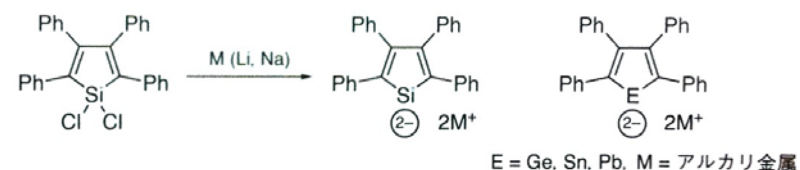


## 不均一芳香族性(dismutational aromaticity)



ヘキサシラベンゼンの異性体

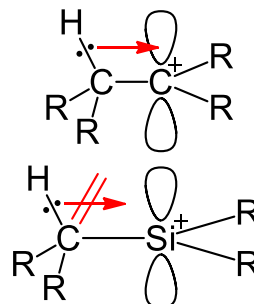
## アニオン性芳香族



鉛に関する最近の報告 Science 2010, 328, 339.

# 14族元素高反応性化学種: 力チオン

## シリルカチオンの不安定性

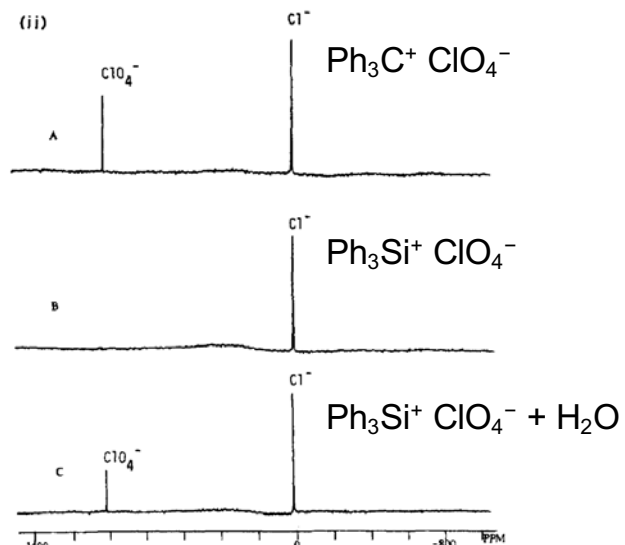


カルボカチオンでは  
超共役による安定化があるが  
シリルカチオンはSi-C結合が長いので  
超共役による安定化を得にくい

初期の研究:  $\text{Ph}_3\text{Si}^+\text{ClO}_4^-$

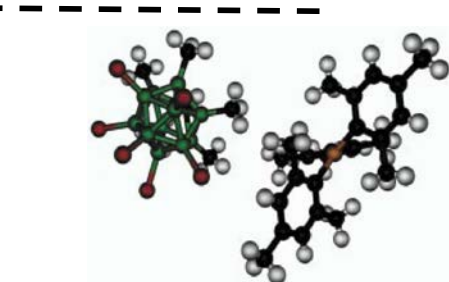
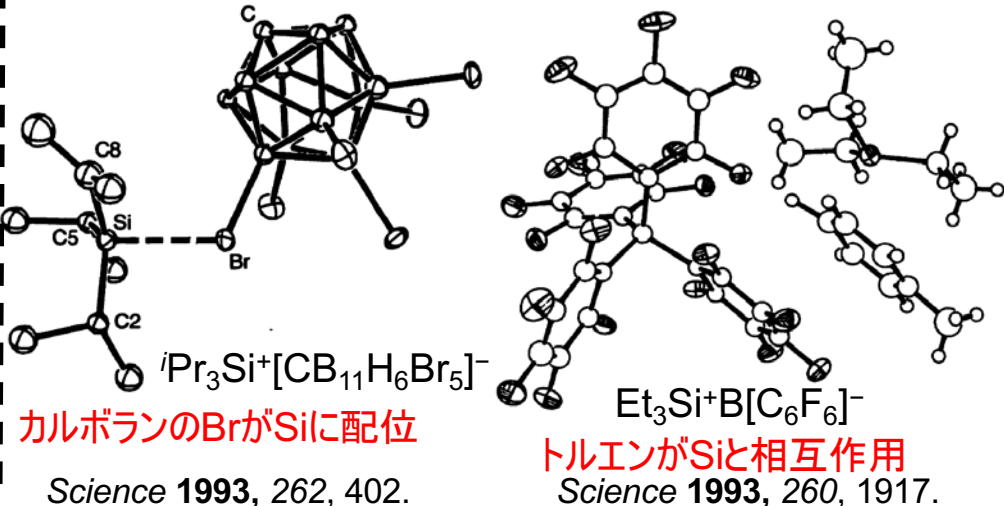


$^{35}\text{Cl}$  NMRによるOlahらの反論



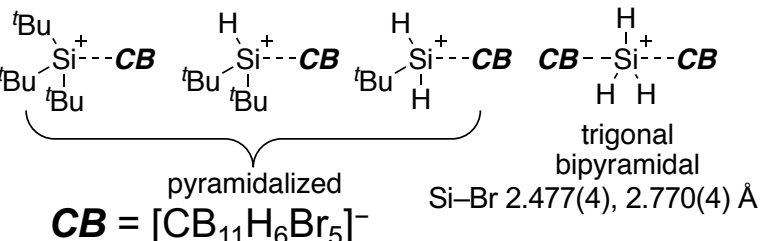
溶液中で $\text{ClO}_4^-$ がSiに結合していたら  
 $^{35}\text{Cl}$  NMRがブロードニングするはず

## 非配位性アニオンを用いる検討



$\text{Mes}_3\text{Si}^+[\text{CB}_{11}\text{HMe}_5\text{Br}_5]^-$   
Science 2002, 297, 825.

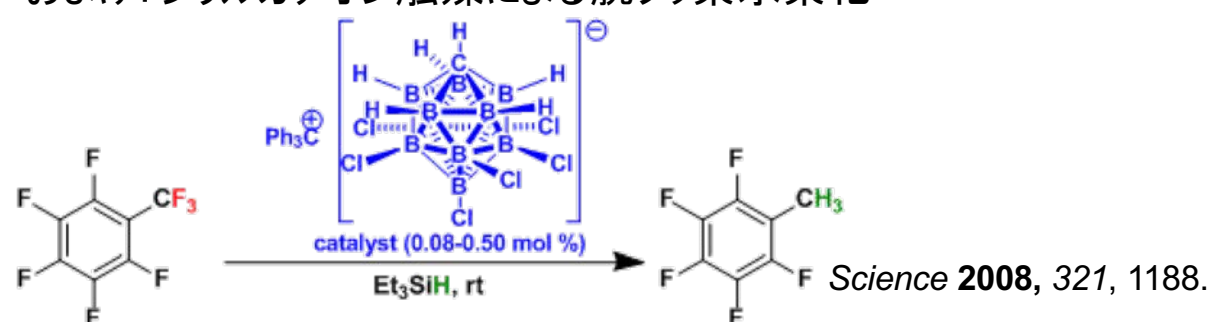
メシチル基置換シリルカチオンの単離



Science 2019, 365, 168.

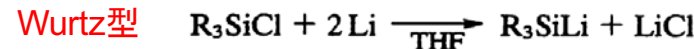
ヒドリド置換シリルカチオンの単離  
両側から配位された三方両錐構造

おまけ: シリルカチオン触媒による脱フッ素水素化



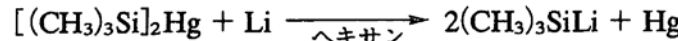
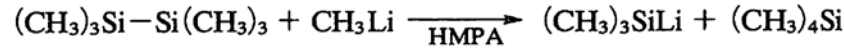
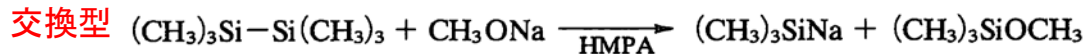
# 14族元素高反応性化学種: アニオン

## シリルアニオン種の調製

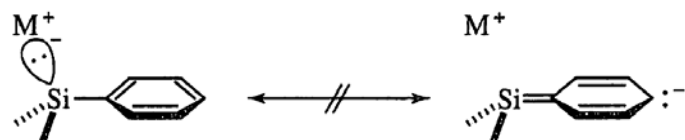


$R_3Si = C_6H_5(CH_3)_2Si, (C_6H_5)_2CH_3Si, (C_6H_5)_3Si, [(C_2H_5)_2N](C_6H_5)_2Si$ , など

## 金属-ハロゲン

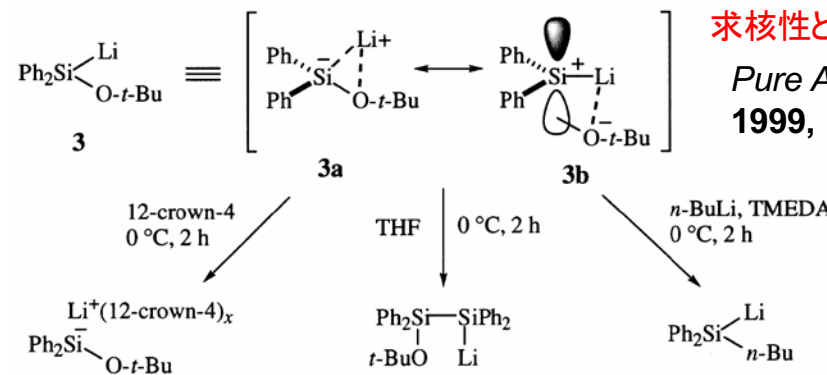


## シリルアニオンの立体反転



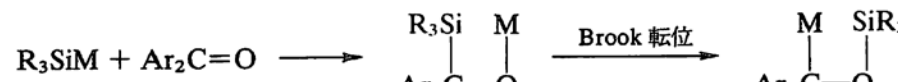
C=Si二重結合が不安定であるため  
共鳴が書けず、立体は反転しにくい

## シリレノイド: 官能基化シリルアニオン

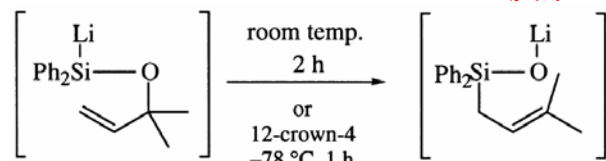


カルベノイドと同様に  
求核性と求電子性を示す  
*Pure Appl. Chem.*  
1999, 71, 393.

## ケイ素の転位反応: Brook転位とsila-Wittig転位



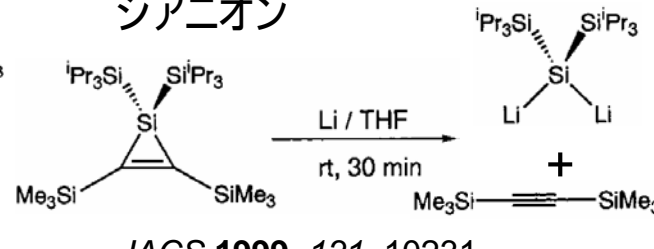
Acc. Chem. Res. 1974, 7, 77.  
酸素アニオンから  
炭素アニオン生成



JACS 1997, 119, 233.

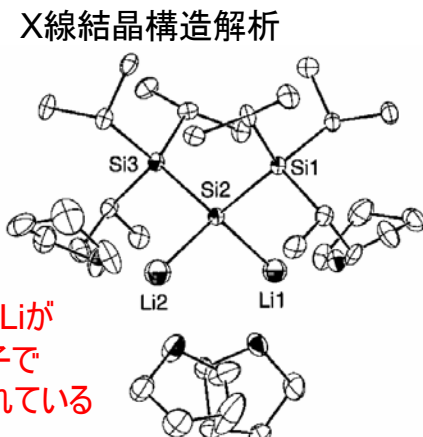
ケイ素アニオンから  
酸素アニオン生成  
(sila-Wittig転位)

## ジアニオン



JACS 1999, 121, 10231.

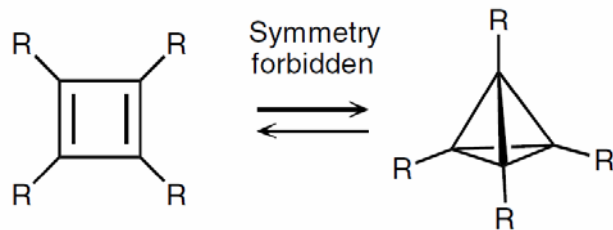
ケイ素と炭素の違い: 大きなケイ素は  
アニオン電荷を非局在化しやすい



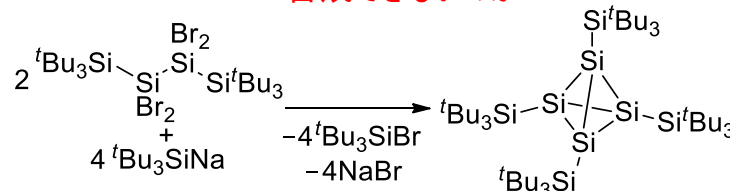
それぞれのLiが  
THF2分子で  
溶媒和されている

# 14族元素高反応性化学種: 反芳香族? イオン?

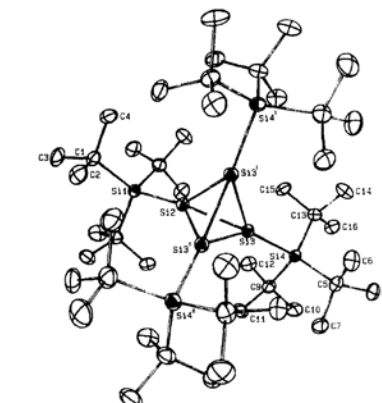
異性体: シクロブタジエンvs. テトラヘドラン



ケイ素でシクロブタジエンは合成できないのか?



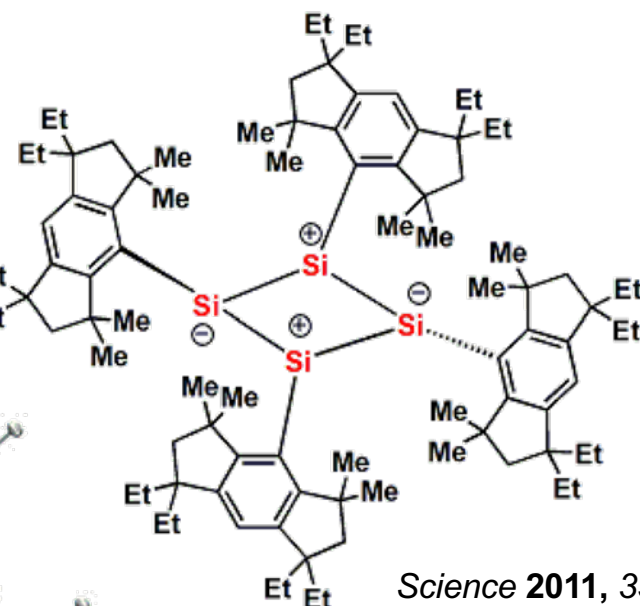
ACIEE 1993, 32, 1054. JACS 2003, 125, 13328.



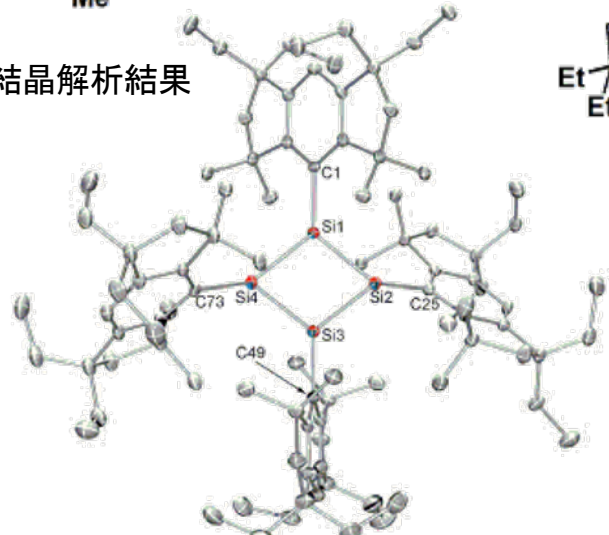
シクロブタジエン?  
→菱形のイオン構造だった



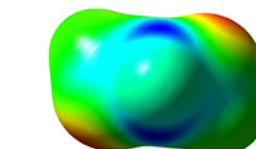
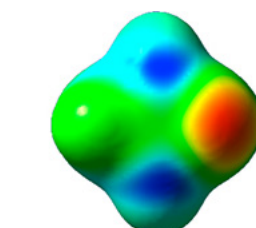
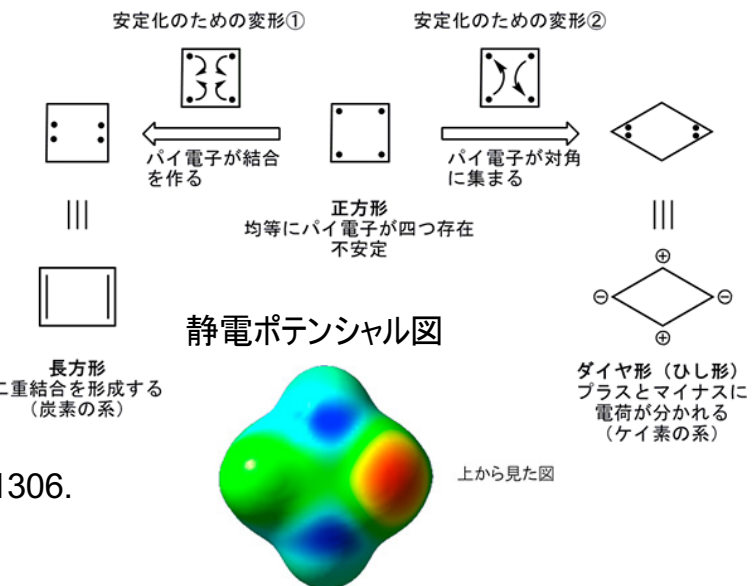
$3 \text{ LiNaph}$   
THF



X線結晶解析結果

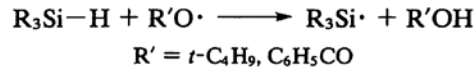
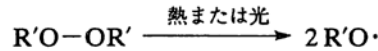


Science 2011, 331, 1306.

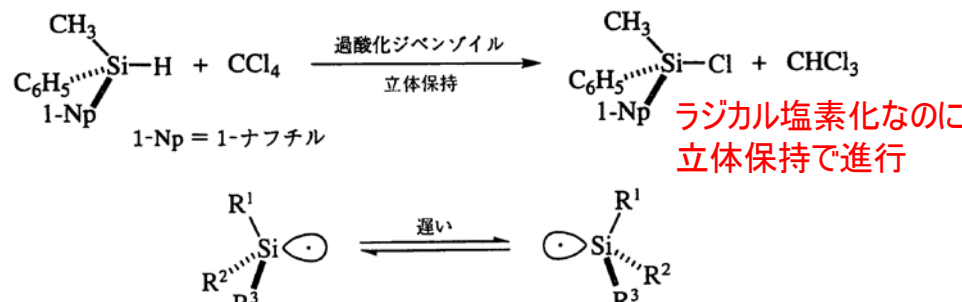


# 14族元素高反応性化学種: ラジカル

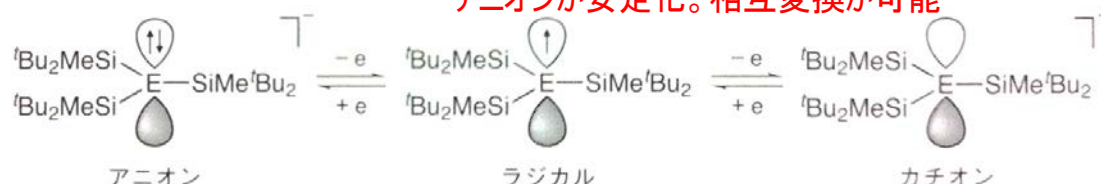
M-Hは容易に引き抜かれて14族ラジカルを形成



14族ラジカルの反転は遅い

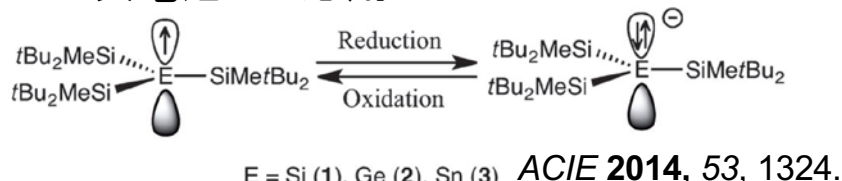


安定な14族ラジカル

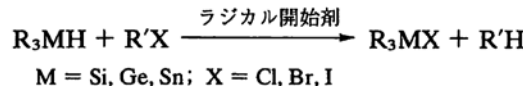


JACS 2002, 124, 9865. JACS 2002, 124, 15160.  
ACIE 2003, 42, 1143. JACS 2003, 125, 9250.

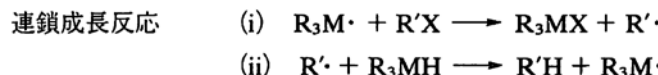
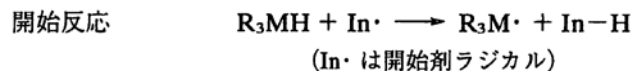
二次電池への応用



ハロゲン化アルキルのラジカル還元反応



" $Bu_3SnH$ が最も広く使われる



M-H結合解離エネルギー(kJ/mol)

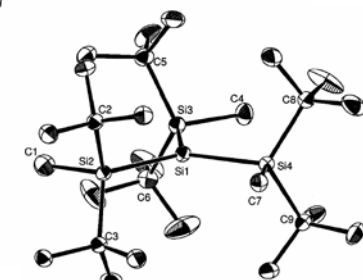
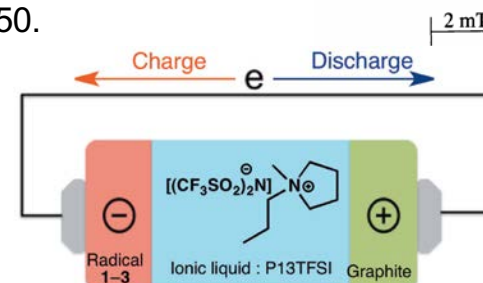
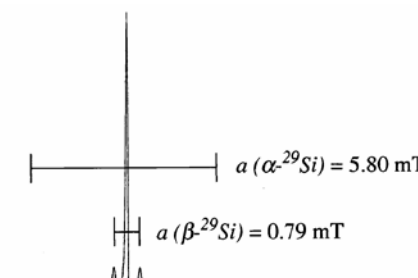
$(CH_3)_3Si$	$[(CH_3)_3Si]_3Si$	$(n-C_4H_9)_3Ge$	$(n-C_4H_9)_3Sn$
378	331	347(推定)	310

毒性の低いケイ素を使用  
ケイ素置換基でSi-H結合弱くなる  
TCIやAldrichで市販している

J. Org. Chem. 1991, 56, 678.

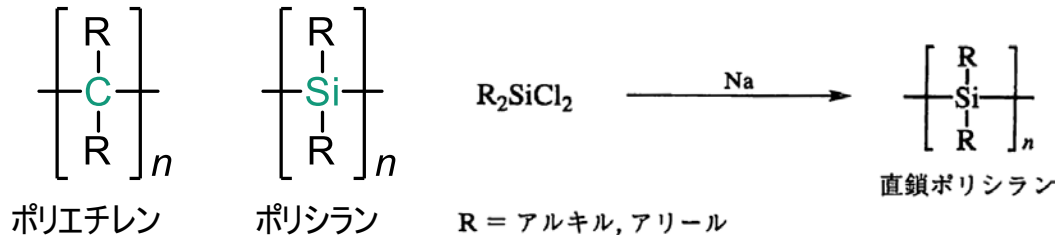
ケイ素ラジカルのESRスペクトルとX線結晶構造

$g = 2.0056$

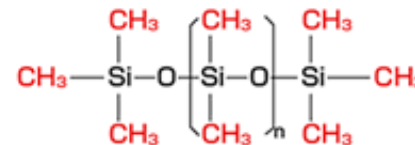


## 14族元素化学: σ共役

カテネーション(catenation):  
同じ元素が連結して鎖を作る現象

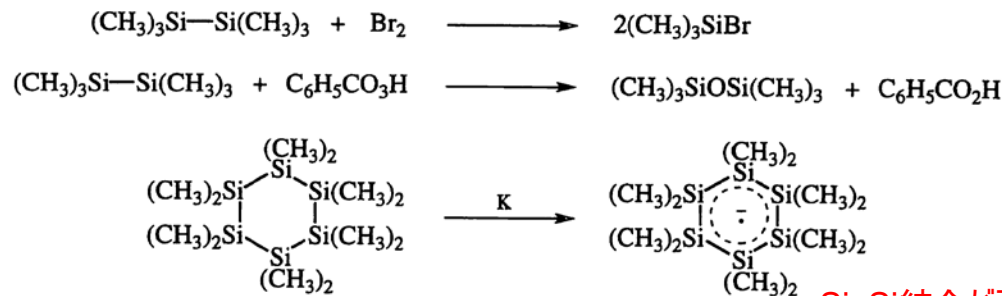


### 関連ポリマー：ポリシリコサン



シリコーングリース・シリコーンオイル・  
GC固定相・化粧品・酸素透過コンタクトレンズ  
などに利用されている

## 14族の結合の特異な反応性：



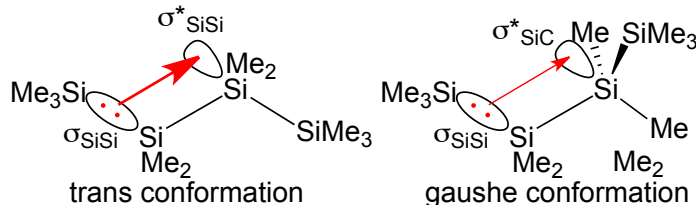
14族の結合のイオン化ポテンシャルは小さい

表 8・10 ペルメチルオリゴシランのイオン化ポテンシャルと紫外吸収極大

化合物	IP <sub>1</sub> , eV	$\lambda_{\max}$ , nm ( $\varepsilon$ )
(CH <sub>3</sub> ) <sub>3</sub> SiSi(CH <sub>3</sub> ) <sub>3</sub>	8.69	197 (8500)
(CH <sub>3</sub> ) <sub>3</sub> SiSi(CH <sub>3</sub> ) <sub>2</sub> Si(CH <sub>3</sub> ) <sub>3</sub>	8.19	215 (9000)
(CH <sub>3</sub> ) <sub>3</sub> SiSi(CH <sub>3</sub> ) <sub>2</sub> Si(CH <sub>3</sub> ) <sub>2</sub> Si(CH <sub>3</sub> ) <sub>3</sub>	7.98	235 (14700)
(CH <sub>3</sub> ) <sub>3</sub> SiSi(CH <sub>3</sub> ) <sub>2</sub> Si(CH <sub>3</sub> ) <sub>2</sub> Si(CH <sub>3</sub> ) <sub>2</sub> Si(CH <sub>3</sub> ) <sub>3</sub>	7.79 (推定)	250 (18400)
(CH <sub>3</sub> ) <sub>3</sub> SiSi(CH <sub>3</sub> ) <sub>2</sub> Si(CH <sub>3</sub> ) <sub>2</sub> Si(CH <sub>3</sub> ) <sub>2</sub> Si(CH <sub>3</sub> ) <sub>2</sub> Si(CH <sub>3</sub> ) <sub>3</sub>	—	260 (21100)

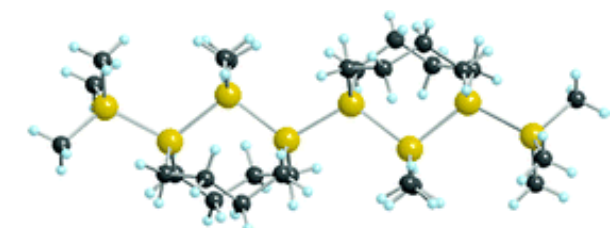
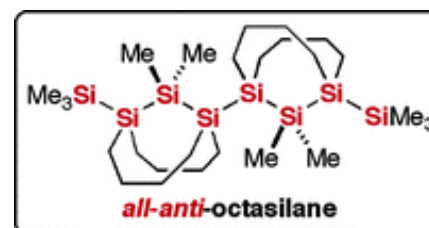
Si-Si結合が弱いことに起因

σ共役



UV,IRによりそれぞれの異性体を帰属  
trans異性体はよりred shiftした吸収を示す

*Chem. Phys. Lett.* **1992**, *198*, 400.



全てtransに固定されたオクタシランを単離・構造決定  
フリーのオクタシランに比べてred shiftした吸収を観測  
モル吸光係数の増大も観測された

JACS 2006, 128, 6800.

# 15族元素3価3配位化合物

アミンとホスフィンの違い

表 8・12 トリメチルアミンとトリメチルホスフィンの比較

	IP <sub>1</sub> , eV	共役酸の pK <sub>a</sub>	反転障壁, kJ mol <sup>-1</sup>
(CH <sub>3</sub> ) <sub>3</sub> N	8.44	9.76	34
(CH <sub>3</sub> ) <sub>3</sub> P	8.60	8.65	133

リンは反転障壁が窒素よりも高い

→平面構造に必要なsp<sup>2</sup>混成軌道をとりにくい

=

イオン価ポテンシャルの違い=軌道の混成の違い

NH<sub>3</sub>のNH結合はsp<sup>2.90</sup>混成=lone pairはsp<sup>2.37</sup>

PH<sub>3</sub>のPH結合はsp<sup>3.83</sup>混成=lone pairはsp<sup>0.95</sup>

→lone pairのs性が高い

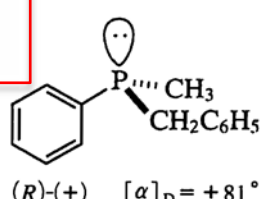
=

15族3価3配位化合物の構造の違い

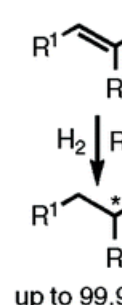
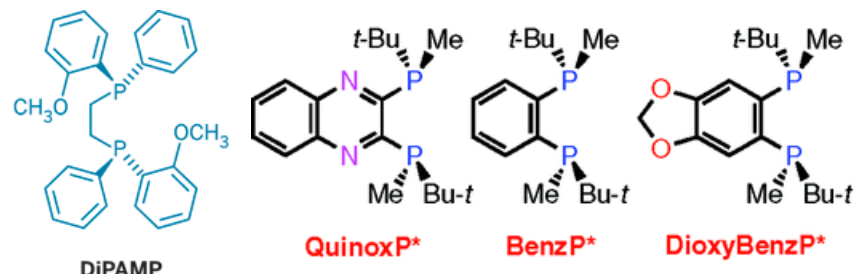
	r	θ
Phosphine	1.419 Å <sup>a</sup>	93.5°
Arsine	1.523 Å	92.0°
Stibine	1.712 Å	91.5°

Phys. Rev. 1951, 81, 798.

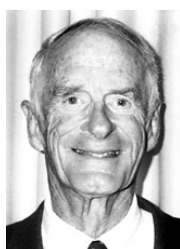
重い元素の方が  
結合が長い=  
結合角小さい=



Pキラルリン化合物の不斉配位子としての応用



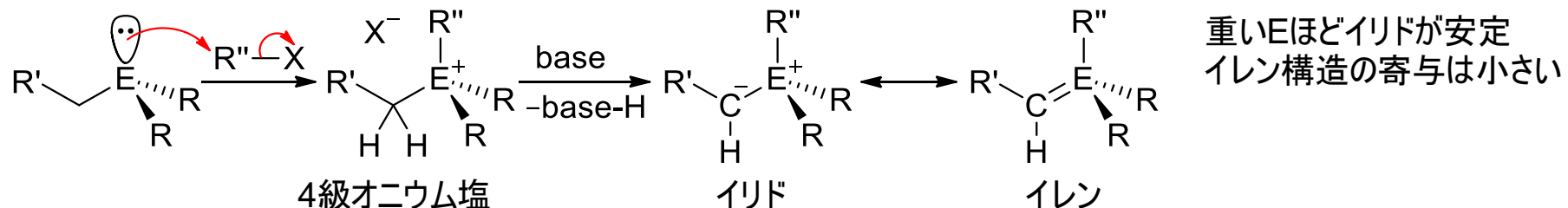
今本恒雄  
千葉大学  
名誉教授



William S. Knowles  
Nobel Prize 2001

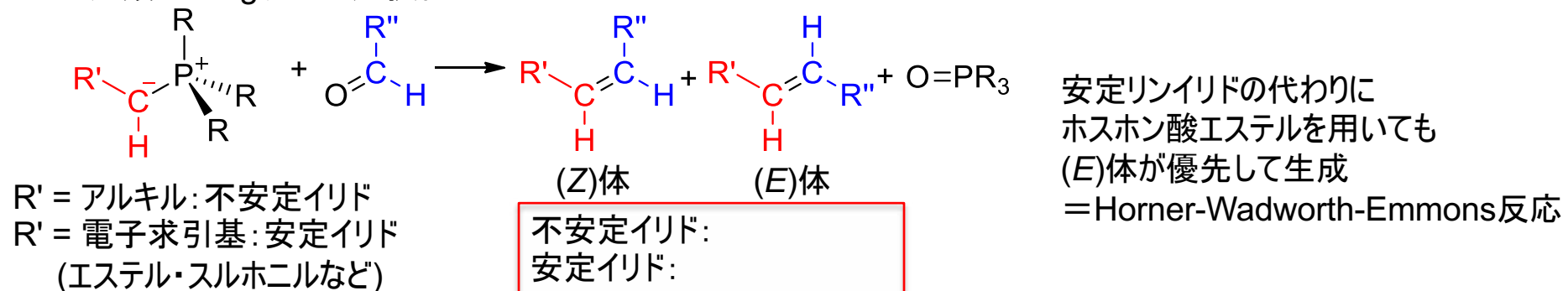
# 15族元素オニウム塩とイリド

4級オニウム塩の生成 ( $E = N, P, As, Sb, Bi$ )

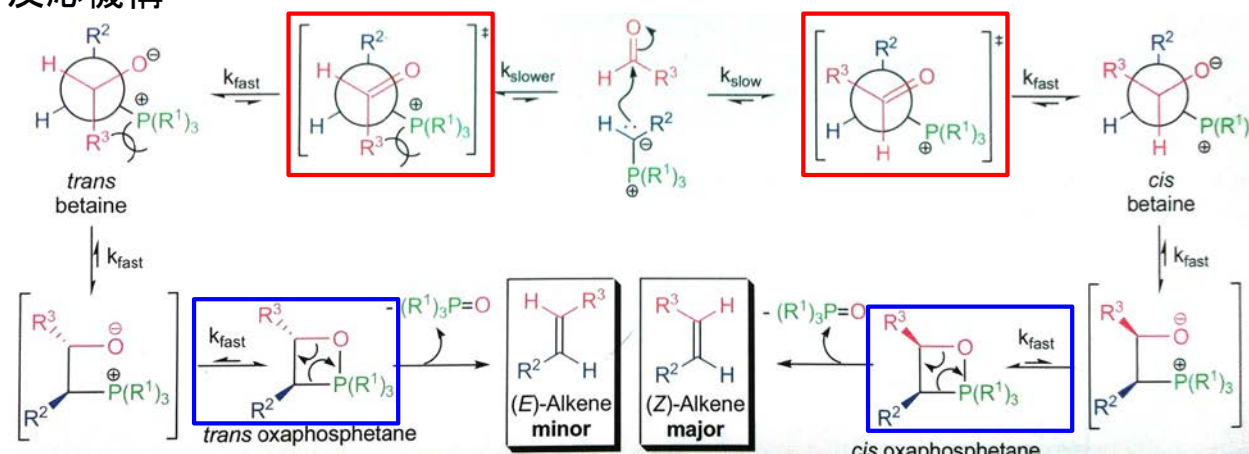


Wittig反応とHorner-Wadsworth-Emmons反応

イリドの分類とWittig反応の選択性



反応機構



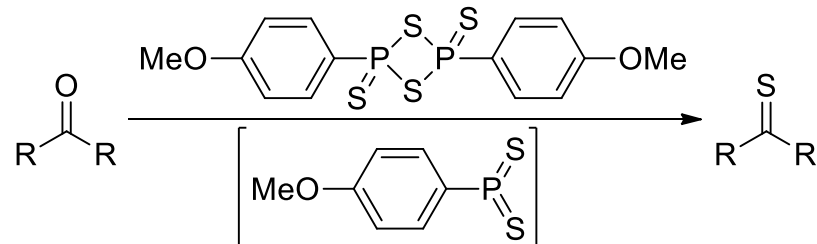
**不安定イリド:** オキサホスフェタンの生成までが不可逆 →

**安定イリド:** 最終段階以外は可逆

テキスト  
大学院講義有機化学IIのp37-参照

# 15族元素を含有した多重結合①

P=S二重結合を有するLawesson反応剤:  
ケトンをチオカルボニルに変換できる



*Org. Synth.* **1984**, 62, 158.

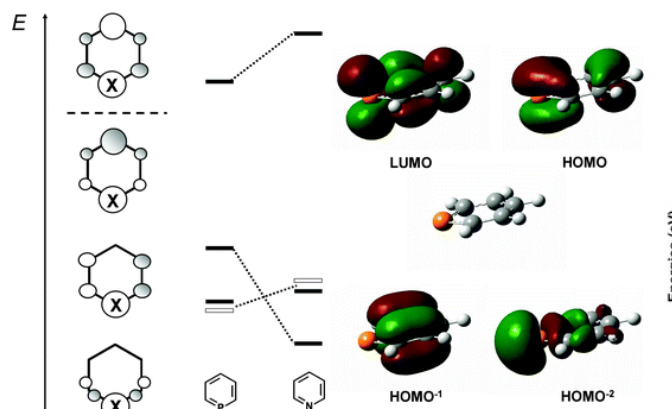
P=Se二重結合を有するホスフィンセレニド:  
NMRにおける $^{31}\text{P}$ - $^{77}\text{Se}$ カップリング定数の値が  
リン配位子の電子供与性評価に使用される

No.	Compound	$\delta\text{P}(\text{III})$ (ppm)	$\delta\text{P}(\text{V})$ (ppm)	$^1J_{\text{Se-P}}$ / Hz
1	$\text{PPh}_3$	-5.31	36.77	728.9
2	$\text{PPh}_2\text{Cy}$	-1.33	46.25	724.9
3	$\text{PPh}\text{Cy}_2$	4.98	55.87	701.2
4	$\text{PCy}_3$	11.13	59.18	672.9

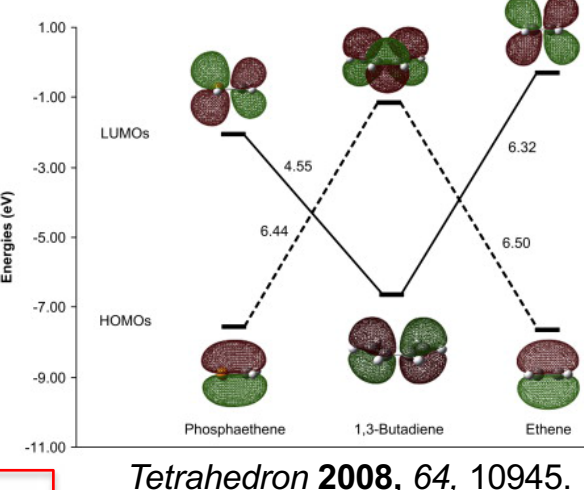
*J. Chem. Soc., Dalton Trans.*, **1982**, 51.  
*Dalton Trans.* **2008**, 650.

## 錯体触媒配位子としての利用

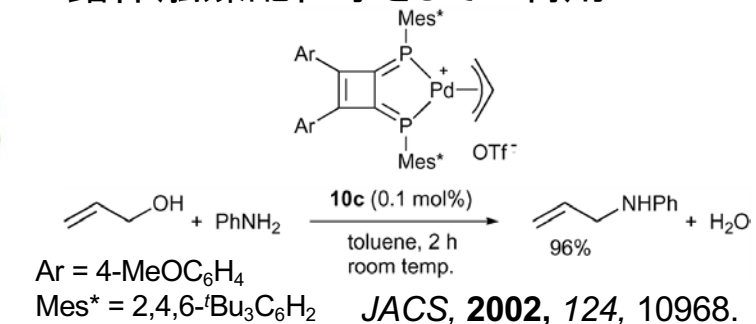
P=C二重結合:ホスファアルケン・ホスファベンゼン



*Dalton Trans.* **2007**, 5505

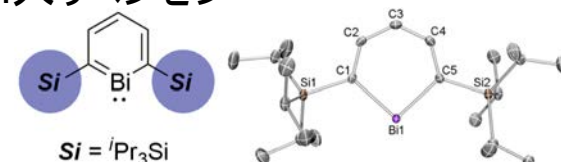


*Tetrahedron* **2008**, 64, 10945.



*JACS* **2002**, 124, 10968.

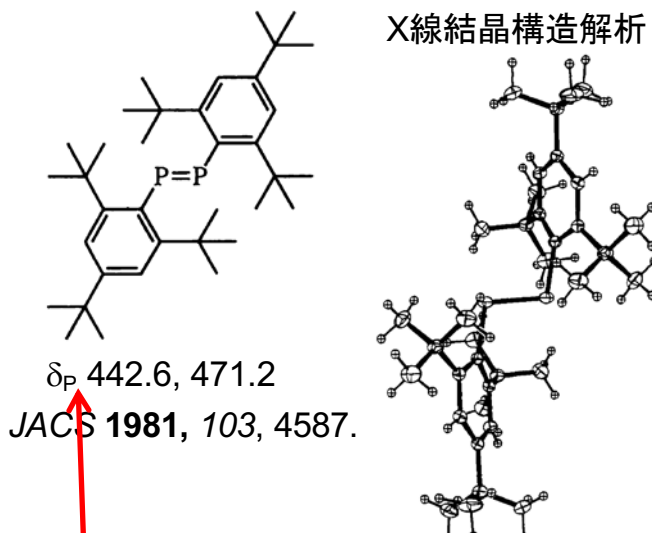
## Bi入りベンゼン



*JACS* **2016**, 138, 12787.

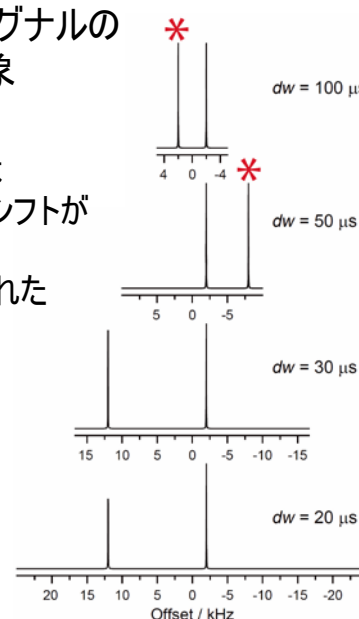
# 15族元素を含有した多重結合②

## P=P二重結合:重いアゾ化合物



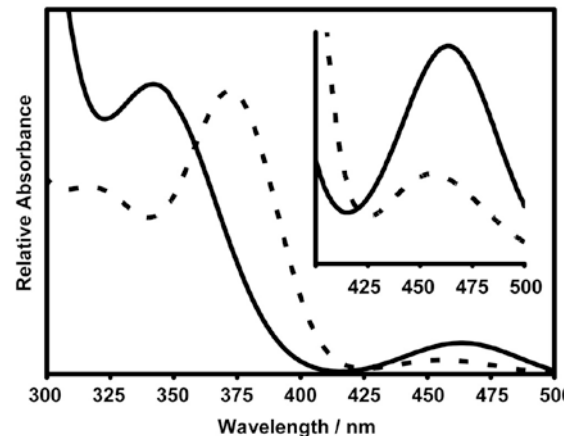
## $^{31}\text{P}$ NMRシグナルの折り返し現象

最初の報告では $^{31}\text{P}$  NMR化学シフトが $\delta_P$  -59.0と間違って報告された

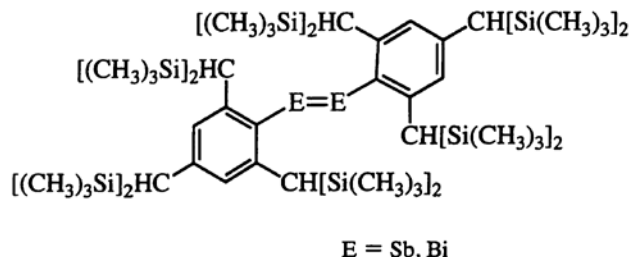


多核NMRでは測定範囲外のシグナルが端から折り返して出てくる現象がある

## ジホスフェンのUV-visスペクトル



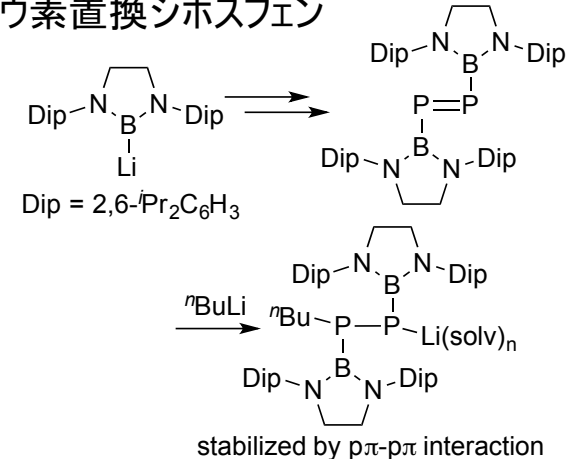
## さらに重い同族体



JACS 1998, 120, 433.  
Science 1997, 277, 78.

「世界で最も重い二重結合」として報告された

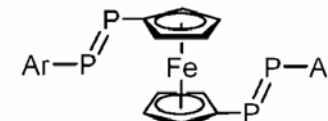
## ホウ素置換ジホスフェン



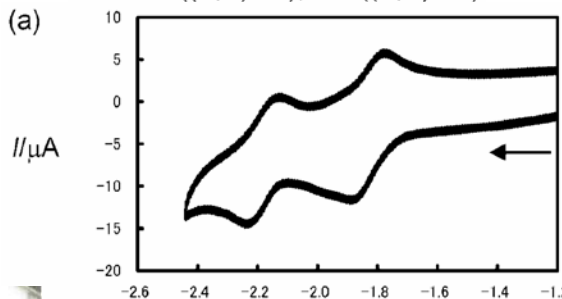
ホウ素の置換基効果で付加体が安定化して得られる

ACIE 2016, 55, 12827.

## d電子系化合物との共役



(a) Ar = Tbt ((E,E)-1a), Bbt ((E,E)-1b)



二段階の還元が観測されるが二回目の還元は起こりやすい  
=

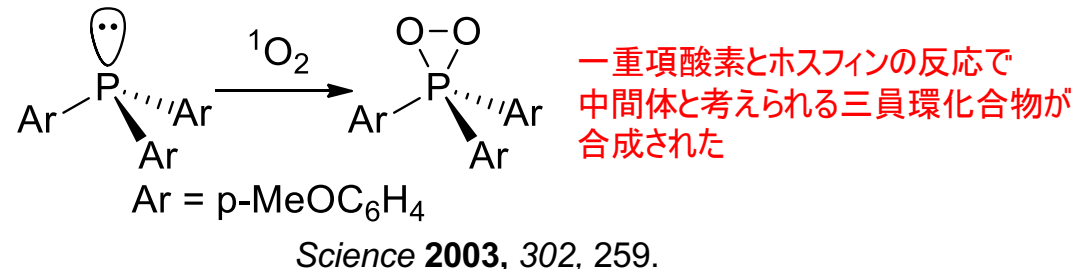
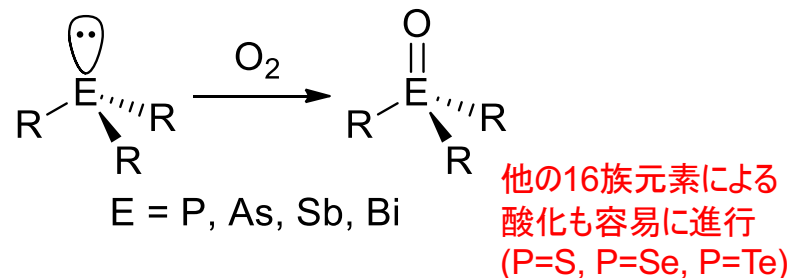
Bull. Chem. Soc. Jpn. 2007, 80, 1884.

名古屋市立大学  
笹森貴裕教授

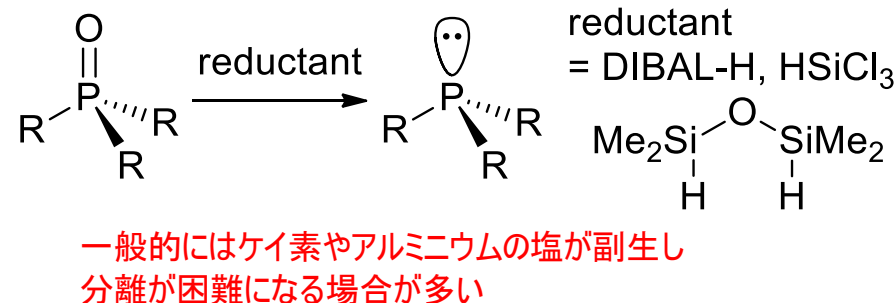


# 15族元素中心の酸化と還元

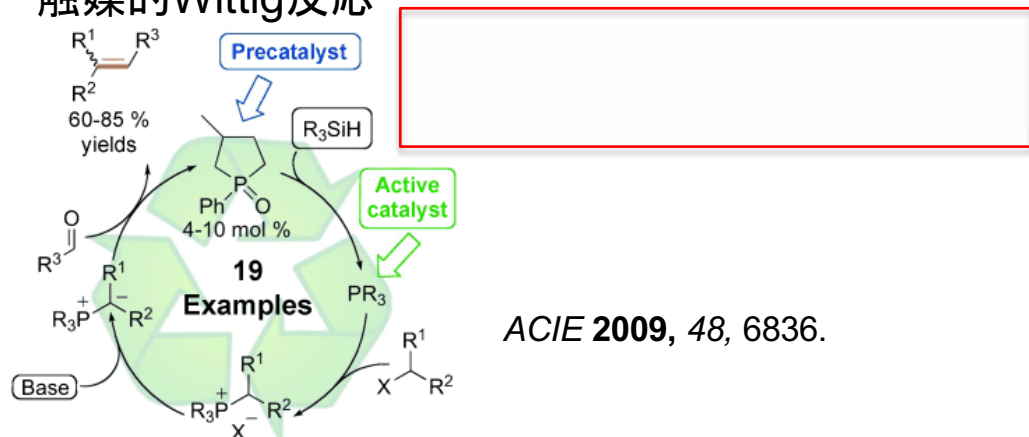
15族3価3配位化合物は酸素と容易に反応してオキシドを与える



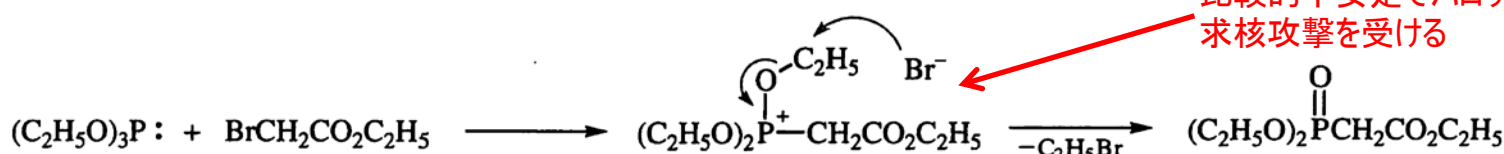
逆反応(還元)は比較的強い条件が必要



触媒的Wittig反応

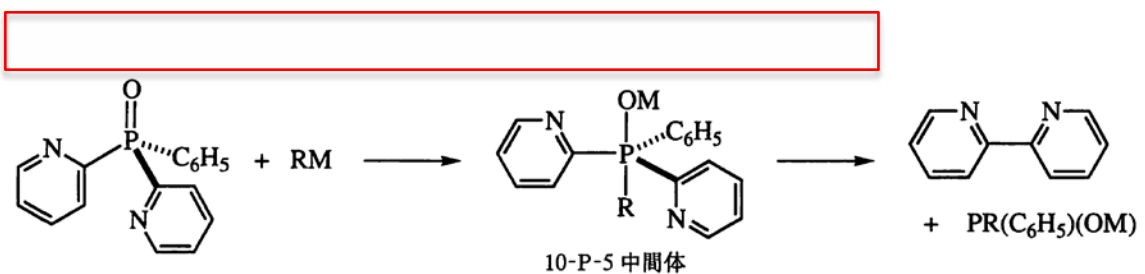
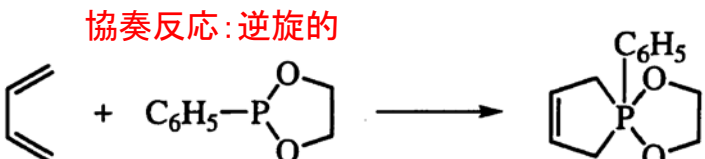


Arbuzov反応: ホスファイトとハロゲン化アルキルの反応



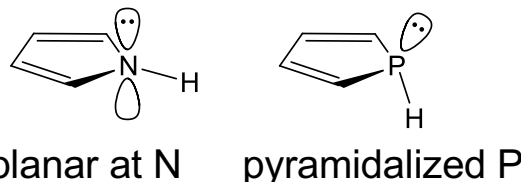
トリアルコキシホスホニウム塩は比較的不安定でハロゲン化物イオンの求核攻撃を受ける

酸化的環化とリガンドカップリング

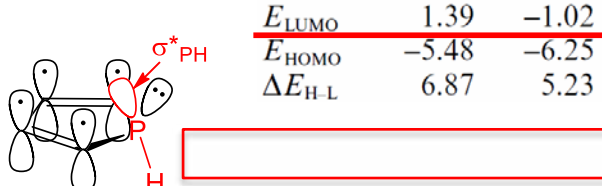


# リン含有有機材料とσ-π共役: ホスホール

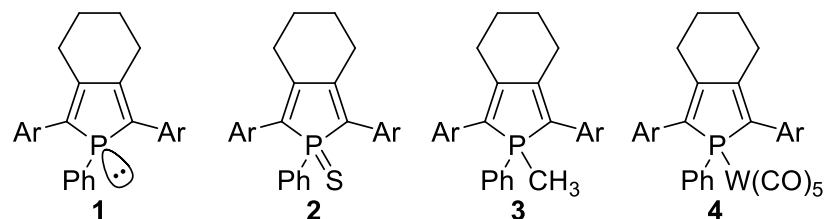
pyrrole vs. phosphole



ホスホールはリン原子がピラミッド化しているので  
芳香族ではない=反応性が高い

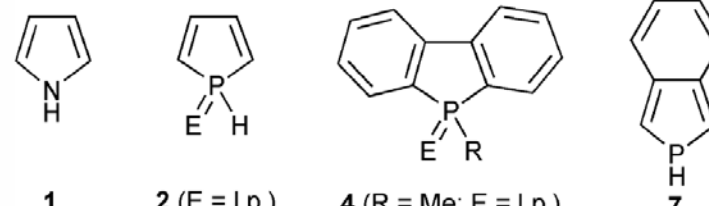


置換基効果による吸収スペクトル変化



	$\lambda_{\text{max}}^a$ (nm)	$\lambda_{\text{onset}}^a$ (nm)	$\log \epsilon$	$\lambda_{\text{em}}^a$ (nm)	$\phi_f^b$	$E_{\text{pa}}^c$ (V)	$E_{\text{pc}}^c$ (V)
1	412	468	3.93	501	$5.0 \times 10^{-2}$	+0.40	
2	432	496	3.98	548	$4.6 \times 10^{-2}$	+0.68	-1.95
3	442	528	3.92	593	$0.8 \times 10^{-2}$	+0.92	-1.66
4	408	475	4.04	506	$1.3 \times 10^{-2}$	+0.70	-2.20

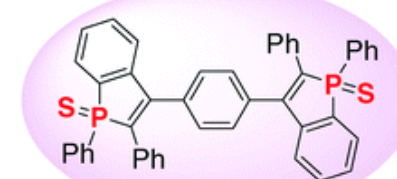
リン原子のlone pairを反応させた誘導体へと導くと  
LUMOが下がる=  
=



Compd	1	2	3	4	5	6	7
$E_{\text{LUMO}}$	1.39	-1.02	-2.10	-0.98	-0.97	-1.48	-1.97
$E_{\text{HOMO}}$	-5.48	-6.25	-6.91	-5.93	-5.91	-6.23	-5.26
$\Delta E_{\text{H-L}}$	6.87	5.23	4.81	4.95	4.94	4.75	3.29

Org. Biomol. Chem. 2009, 7, 1258.

応用:  
n型有機半導体

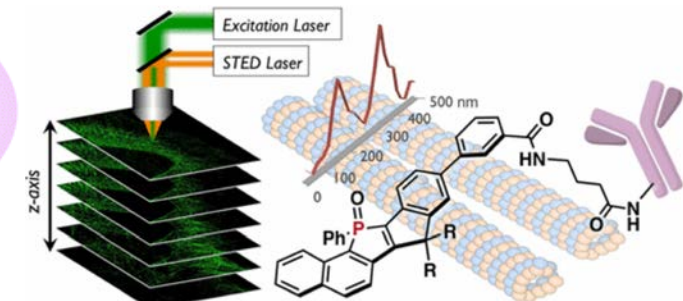


$$\mu_e = 2 \times 10^{-3} \text{ cm}^2/\text{Vs}$$

$$T_g = 148^\circ\text{C}$$

J. Mater. Chem.  
2009, 19, 3364.

耐光性蛍光色素



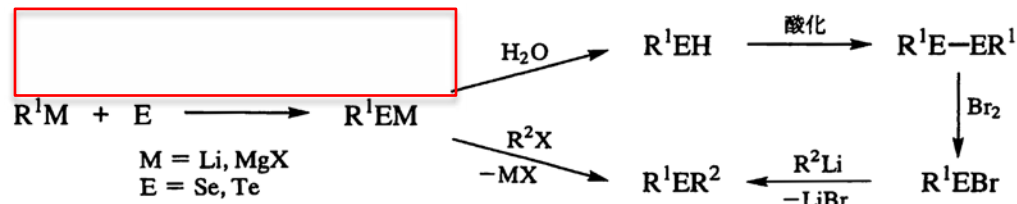
J. Am. Chem. Soc.  
2017, 139, 10374.

ホスホールスルフィドの  
電子受容性を活かした  
n型有機半導体

ホスホールオキシドの低いLUMOと  
剛直な骨格で高効率蛍光発光と  
耐光性と水溶性を同時達成  
=STED顕微鏡の励起レーザーにも安定

# 16族元素2配位化合物

## 16族2配位化合物の相互変換



おまけ: 硫黄・セレン・テルルの単体の写真



## 化合物の命名

$\text{RSR}$  : チオール

$\text{RSeH}$  : セレノール

$\text{RTeH}$  : テルロール

$\text{RSR}$  : スルフィド

$\text{RSeR}$  : セレニド

$\text{RTeR}$  : テルリド

$\text{RSSR}$  : ジスルフィド

$\text{RSeSeR}$  : ジセレニド

$\text{RTeTeR}$  : ジテルリド

参考: 結晶美術館ウェブサイト

(各種単体・鉱物・有機物の結晶の写真多数あり)

<https://sites.google.com/site/fluordoublet/>

## $\text{REH}$ ( $\text{E} = \text{O, S, Se, Te}$ )の性質

酸性度:  $\text{O} < \text{S} < \text{Se} < \text{Te}$

共役塩基 $\text{RE}^-$ の塩基性:  $\text{O} > \text{S} > \text{Se} > \text{Te}$

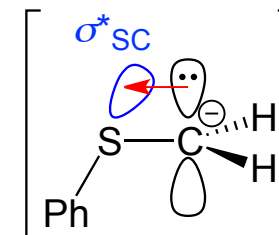
共役塩基 $\text{RE}^-$ の求核性:  $\text{O} < \text{S} < \text{Se} < \text{Te}$

→  
→ $\text{RE}^-$ の安定性も  $\text{O} < \text{S} < \text{Se} < \text{Te}$

## $\alpha$ -アニオン安定化効果(14, 15族を参照)

メチルプロトンの脱プロトン化速度

$(\text{C}_6\text{H}_5)_2\text{NCH}_3(1) < \text{C}_6\text{H}_5\text{OCH}_3(40) < \text{C}_6\text{H}_5\text{SeCH}_3(2 \times 10^7) < \text{C}_6\text{H}_5\text{SCH}_3(2 \times 10^8)$



(括弧内は相対速度)

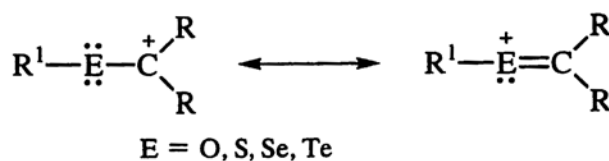
NよりOが電気陰性度が高い

OよりS, Seの方が $\sigma^*$ が低い

C-SeよりC-S結合が短い

→

## カルボカチオンと16族元素置換基

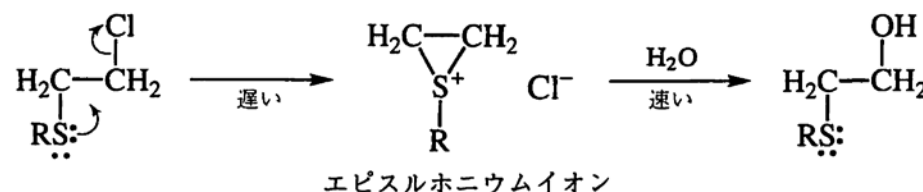


重い16族元素は  
隣接カルボカチオンを安定化しない

→

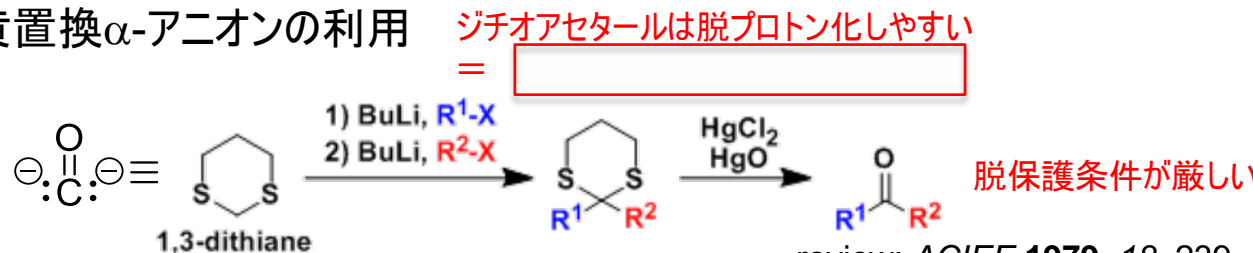
## 加水分解速度

$\text{EtSCH}_2\text{CH}_2\text{Cl} >> \text{EtOCH}_2\text{CH}_2\text{Cl}$



# 16族元素2配位化合物:合成化学への利用

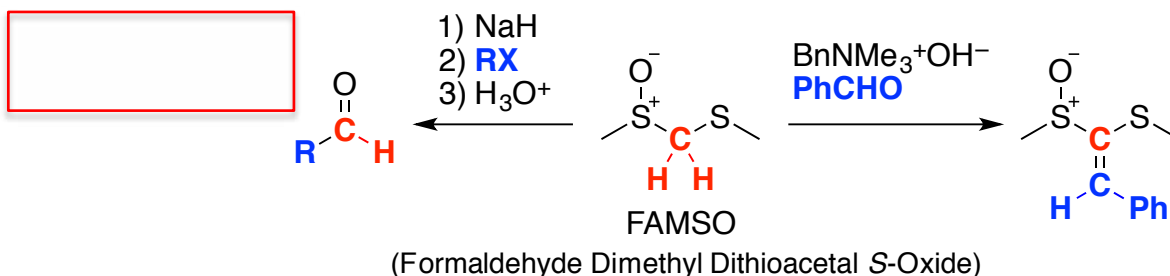
硫黄置換 $\alpha$ -アニオンの利用



<http://www.chem-station.com/odos/2009/07/13-ketone-synthesis-with-13-d.html>



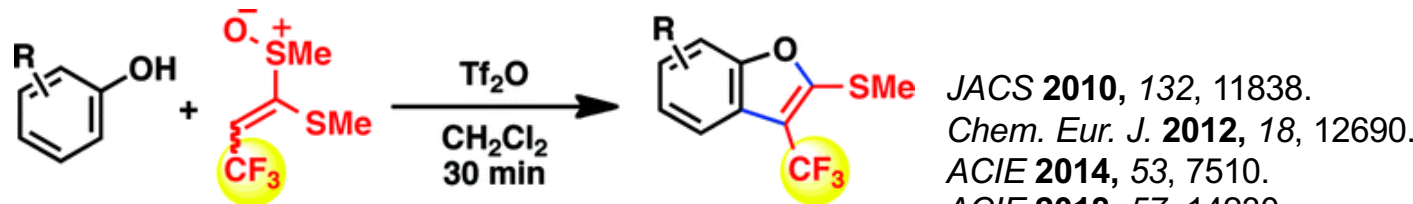
改良版ジチオアセタール:FAMSO



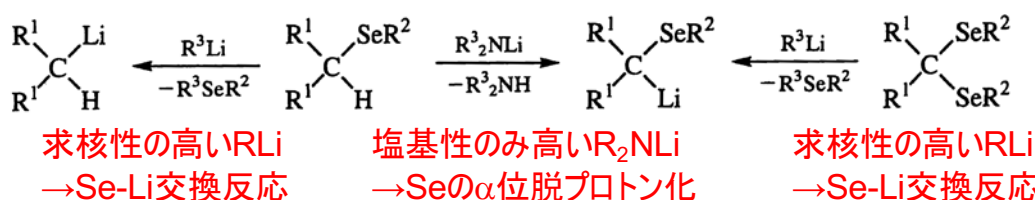
*Tetrahedron Lett.* 1971, 12, 3151.  
*Tetrahedron Lett.* 1972, 13, 1383.  
*Bull. Chem. Soc. Jpn.* 1979, 52, 2013.

review: <http://www.tokyokasei.co.jp/kikou/bun/129dr.pdf>

FAMSO由来のketene dithioacetal monoxideを活用したベンゾフラン合成



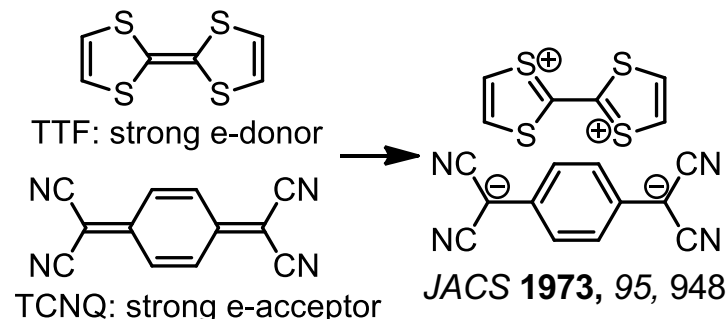
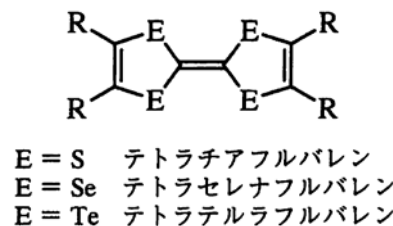
セレン置換基の利用: $\alpha$ -アニオン安定化vs.Se-Li交換反応



京都大学  
依光英樹教授

# 16族元素2配位化合物: 材料化学への利用

テトラチアフルバレン誘導体: 強力な電子供与体



有機物のみからなる塩で電気伝導性を示す  
同種イオンが連なるカラム構造が特徴

reviews:  
*Chem. Rev.* 2004, 104, 4891.  
*Chem. Rev.* 2004, 104, 5085.

オリゴチオフェン・ポリチオフェン

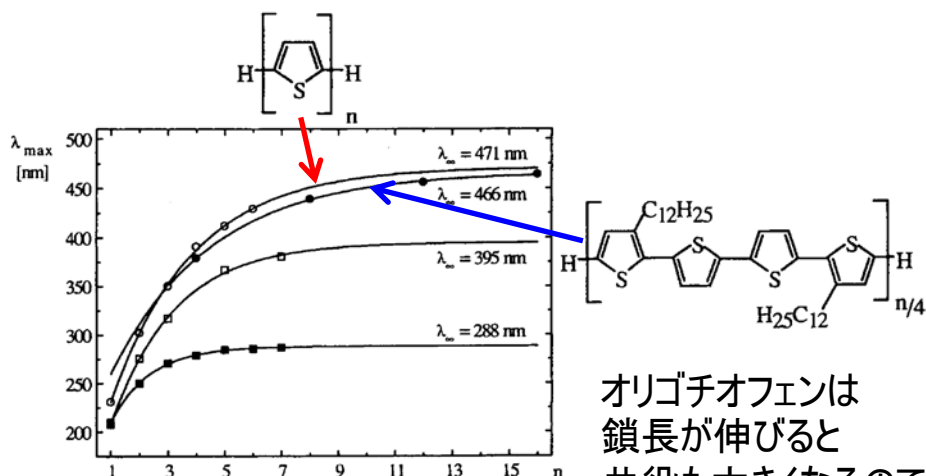
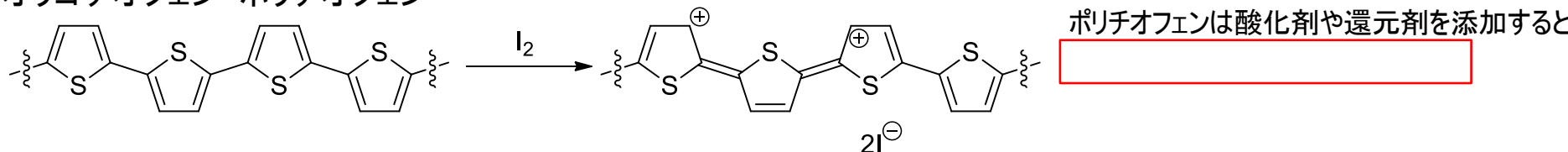
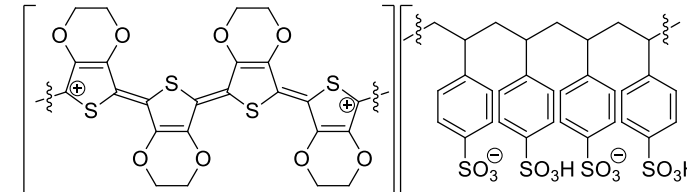


Fig. 5. Convergence of the absorption maxima in the series of the compounds 8 (o, in  $\text{C}_6\text{H}_6$ ), 9 (●, in  $\text{CH}_2\text{Cl}_2$ ), 10 (□, in  $\text{CH}_3\text{CN}$ ) and 11 (■, in  $\text{CHCl}_3$  except N-methylpyrrole ( $\text{H}_2\text{O}$ )).

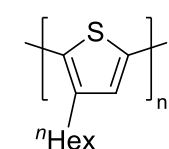
*Acta Polymerica* 1997, 48, 379.

オリゴチオフェンは  
鎖長が伸びると  
共役も大きくなるので  
吸収は長波長シフト

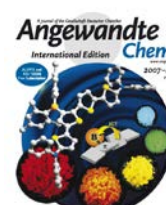
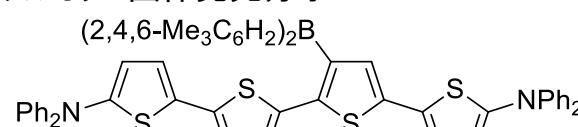
最近の応用例  
 PEDOT/PSS : 膜生成が容易な高導電性ポリマー



P3HT :  
p型半導体ポリマー



フルカラー固体発光分子



ACIE 2007, 46, 4273.



京都大学  
若宮淳志教授